

石川島播磨重工(株) 正 〇 雄 上 翁一  
石川島検査計測(株) 鈴木 利彦

1. 考え方 構造の三次元動的応答を推定する手段として、実験的に二次元非定常空気力を導出しして、ストリップ理論の仮定のもとに準解析的に求められる手段がある。この方法を自励振動の限界風速推定に適用した例は報告されているが、空気力が構造減衰率と同じオーダーである獨創振の振幅推定に適用して、その妥当性を検討した報告は筆者未知る限り無い。そこで、獨創振力が強制型と考えた場合と自励型と解釈した場合の相違、無風時の空力減衰の取扱いによる相違を含めて、ストリップ理論の獨創振幅推定への適用性について検討を加えた。
2. 定常振動振幅計算式 獨創振を対象としていることより、空力的、構造的にモード間、伝わり振動自由度間の連成は存在しないものと仮定する。ここでは伝わり振動に着目する。三次元応答は非定常空気力をもつ、振動変位を  $\psi = \psi_0(x)$  のようにモード関数  $\phi(x)$  と一般座標  $\psi$  で表わすと次式のように表現される。

$$\ddot{\psi} + 2\omega_0\phi\dot{\psi} + \omega_0^2\psi = \frac{L\psi}{m\phi} = \frac{\int L_1\phi dx / \int \phi^2 dx}{\int m\phi^2 dx / \int \phi^2 dx} \quad \dots \dots \dots \quad ①$$

非定常空気力が強制型の場合には式②で、自励型の場合には式③で定式化して、空気力の振幅依存性は非定常空気力係数  $C_L$ ,  $L_R$ ,  $L_z$  をそのベクトルとして取扱うことにより式中に取入れる。定常振幅解は式④と⑤で与えられる。

$$L = \frac{1}{2} \rho V^2 B C_L e^{i\omega t} \quad \dots \dots \dots \quad ②$$

$$L = \rho B^2 \omega^2 (L_R + L_z) \phi e^{i\omega t} \quad \dots \dots \dots \quad ③$$

$$\text{強制型空気力 : } \phi = \frac{\frac{1}{2} \rho V^2 B \int C_L |\phi| dx}{2 \omega_0^2 \rho m \phi \int \phi^2 dx} \quad (\text{共振状態の仮定を使用}) \quad \dots \dots \dots \quad ④$$

$$\text{自励型空気力 : } 2\omega_0\phi = \frac{\rho B^2 \omega}{m\phi} \cdot \frac{\int L_z \phi^2 dx}{\int \phi^2 dx} \quad \text{を満足する} \phi \quad \dots \dots \dots \quad ⑤$$

ここで、 $\omega$ : 応答振動数  $V$ : 風速  $B$ : 斎幅  $\rho$ : 空気密度である。定常振動振幅を上式によって求める際、構造減衰定数中の振幅依存性を考慮しなければならぬことは言うまでもない。

一方、非定常空気力係数は、自由振動法を用いた二次元模型の定常振動振幅より実験的に導出するものとする。模型振幅をも構造対数減衰率を  $S_s$  とすると非定常空気力係数は次式で求められる。このとき、 $\phi$  と同様に  $S_s$  の振幅依存性を考慮しなければならない。

$$C_L = \frac{m\omega_0}{\frac{1}{2} \rho V^2 B} \cdot k \cdot S_s \quad \dots \dots \dots \quad ⑥$$

$$L_z = \frac{m}{\pi \rho B^2} \cdot \frac{\omega_0}{\omega} \cdot S_s \quad \dots \dots \dots \quad ⑦$$

ここで、簡単のため、三次元構造系と二次元模型は同じ動特性諸元を持つとして空気力の解釈の仕方にによる三次元応答振幅の相違を検討する。定常振幅解式④の  $\int C_L |\phi| dx$  を  $\int L_z [C_L/L_z] |\phi| dx$  と書き直し、 $[C_L/L_z]$  を式⑥と⑦で置換すると、式④は次式となる。

$$\phi = \frac{\rho B^2}{2 \rho m \phi} \cdot \frac{\omega}{\omega_0} \cdot \frac{\int L_z \phi |\phi| dx}{\int \phi^2 dx} \quad \dots \dots \dots \quad ④'$$

更に、 $\phi = \phi |\phi|$  であることより式④'は次式となり、この式は自励型空気力の定常解

$$1 = \frac{\phi}{\phi} = \frac{\rho B^2}{2 \rho m \phi} \cdot \frac{\omega}{\omega_0} \cdot \frac{\int L_z \phi^2 dx}{\int \phi^2 dx} \quad \dots \dots \dots \quad ④''$$

式⑤に等しい。従って、上記の空気力の定式化を用いる限り、空気力の解釈の仕方によって三次元応答解結果は変わらないと言える。以降の検討は空気力を自励型として取扱って行なう。

3. 実験概要 ストリップ理論適用の妥当性検討は三次元模型の応答との比較によって行った。三次元模型は柄④剛性棒模型を用いた。この模型の柄を剛体棒に取付けることにより二次元模型を構成して、二次元ヒ三次元模型の製作精度に起因する実験誤差が生じないよう配慮した。無風時の空力減衰の影響を調べるために、剛性(体)棒のみの状態に柄に相当する質量を付加して、そのときの対数減衰率( $\delta_{so}$ )と柄取付時の減衰率( $\delta_{so} + \delta_{sa}$ )の差を空力対数減衰率( $\delta_{sa}$ )とした。実験は三次元模型の1次ヒ2次のためモードを対象とした。また、非定常空気力の振幅依存性は外部附加減衰量の調整により、振動振幅を変化させ検出した。

4. 結果と結論  $L_x$  の大きさ、振幅依存性は無風時の空力減衰を構造減衰と見なすか否かにより異なる(図-2)。図-2に示したような振幅依存性を有する断面においては、モードの影響によつて、三次元応答の等価 $L_x$ は二次元応答の値より大きくなる。これらの $L_x$ を用いて、構造減衰の振幅依存性を考慮に入れて、ストリップ理論によつて求めた三次元応答計算値と模型実験値を図-4、5に比較した。これらの図中には、応答が剛体の動きである場合の振幅、方角や一般に使われてゐる部分模型実験で得られる応答に対する振幅が示されているが、モードの影響を考慮に入れると振幅は剛体応答と比較して2割程度大きくなることが判る。

以上により、空気力ヒ構造減衰の振幅依存性を配慮したストリップ理論によつて高次の固有振振幅を十分推定できると結論される。また、ストリップ理論適用に関しては、空気力を自励型として取扱、た場合ヒ強制型として取扱、た場合とでは、その計算結果に差異は生じない。

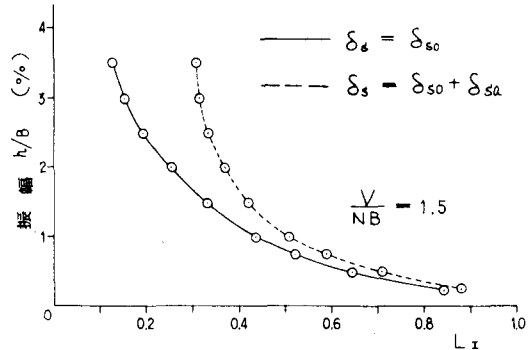


図-2 非定常空気力の振幅依存性

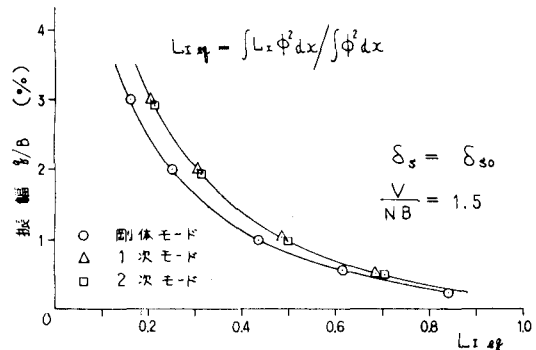


図-3. モードによる非定常空気力の違い

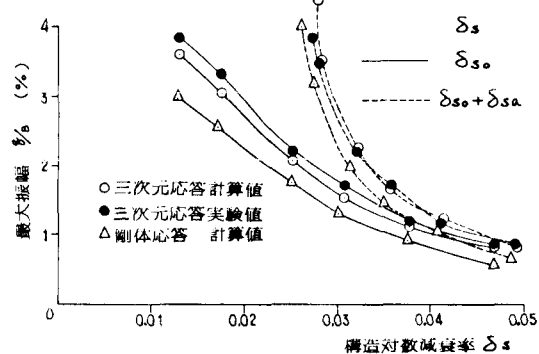


図-4 1次モードの応答振幅

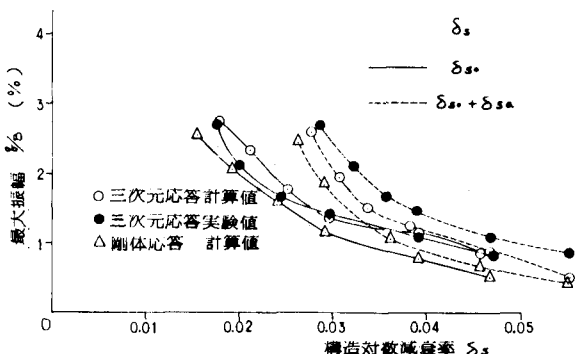


図-5 2次モードの応答振幅

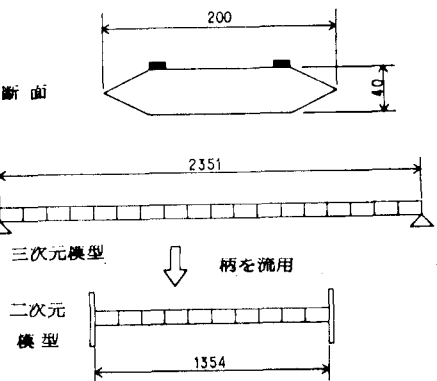


図-1 供試模型